

В.А. Шлычков, П.Ю. Пушистов, В.М. Мальбахов*

Влияние атмосферной конвекции на вертикальный перенос аридных аэрозолей

Институт водных и экологических проблем СО РАН (Новосибирский филиал),
*ИВМиМГ СО РАН, г. Новосибирск

Поступила в редакцию 29.11.2000 г.

Теоретически изучаются процессы переноса аридных аэрозолей в условиях развитой конвекции. Аэрозоли попадают в атмосферу под влиянием ветра за счет отрыва почвенных частиц от лишенной растительности подстилающей поверхности. Дальнейший подъем осуществляется за счет конвективно-турбулентного механизма. Представлены расчеты по одномерной (без учета конвекции), двумерной и пространственной LES-моделям, которые воспроизводят конвективные структуры с масштабом ≥ 100 м.

Введение

Данные наблюдений показывают, что над засушливыми районами имеет место повышенная концентрация аридных аэрозолей. В условиях сильного ветра и высокой температуры часто возникают пыльные бури, во время которых концентрация аэрозолей так высока, что сумерки наступают в дневное время. Механизм проникновения мелких почвенных частиц в прилегающие к подстилающей поверхности слои воздуха теоретически достаточно изучен, он связан с процессами сальтации и диффузии аэрозоля [1].

Для описания процессов распространения аэрозоля в атмосферном пограничном слое (АПС), в том числе и в конвективных условиях, обычно используются численные модели, включающие в себя полуэмпирическое уравнение диффузии и те или иные гипотезы замыкания [2, 3]. При этом нерегулярные мезомасштабные процессы в АПС параметризуются как турбулентные (подсеточные). Однако решения, базирующиеся на таком подходе, не описывают многие важные особенности структуры конвективного АПС. Такой вывод следует как из данных наблюдений [4, 5], так и из теоретических исследований [6–8]. В вихреразрешающих моделях процессы проникающей конвекции, а также облако- и осадкообразования описываются в явном виде с помощью так называемого LES (Large Eddy Simulation) -моделирования, в которых вихри с масштабом более 100 м воспроизводятся на основе негидростатических уравнений термогидродинамики, а меньшие параметризуются.

Распространение поднятых с земли пылевых частиц в двумерной постановке в условиях «сухой» конвекции (когда моделируемый ансамбль состоит из термиков) изучалось в [9]. Механизм поступления аэрозоля в [9] не детализировался (турбулентный поток аэрозоля у земли задавался произвольным образом).

В данной статье источником поступления примеси в атмосферу являются процессы сальтации и де-

фляции (ветрового отрыва частиц аэрозоля от подстилающей поверхности). Кроме того, в качестве базовой принята не двумерная, как в [7, 9], а пространственная [10] LES-модель.

Пространственная модель конвективного ансамбля

Следуя [10], для описания конвективного ансамбля примем следующую систему уравнений термогидродинамики:

$$\frac{du}{dt} + w \frac{\partial U}{\partial z} = - \frac{\partial \pi}{\partial x} + lv + D_{xy} u + \frac{\partial}{\partial z} K \frac{\partial u}{\partial z} + \frac{\partial}{\partial z} \overline{uw}, \quad (1)$$

$$\frac{dv}{dt} + w \frac{\partial V}{\partial z} = - \frac{\partial \pi}{\partial y} - lu + D_{xy} v + \frac{\partial}{\partial z} K \frac{\partial v}{\partial z} + \frac{\partial}{\partial z} \overline{vw}, \quad (2)$$

$$\frac{dw}{dt} = - \frac{\partial \pi}{\partial z} + \lambda \theta + D_{xy} w + \frac{\partial}{\partial z} K \frac{\partial w}{\partial z}, \quad (3)$$

$$\frac{d\theta}{dt} + w \frac{\partial \Theta}{\partial z} = D_{xy} \theta + \frac{\partial}{\partial z} K_T \frac{\partial \theta}{\partial z} + \frac{\partial}{\partial z} \overline{w\theta}, \quad (4)$$

$$\frac{\partial u}{\partial x} + \frac{\partial v}{\partial y} + \frac{\partial w}{\partial z} = 0, \quad (5)$$

$$\frac{\partial U}{\partial t} = l(V - V_G) + \frac{\partial}{\partial z} K \frac{\partial U}{\partial z} - \frac{\partial}{\partial z} \overline{uw}, \quad (6)$$

$$\frac{\partial V}{\partial t} = -l(U - U_G) + \frac{\partial}{\partial z} K \frac{\partial V}{\partial z} - \frac{\partial}{\partial z} \overline{vw}, \quad (7)$$

$$\frac{\partial \Theta}{\partial t} = \frac{\partial}{\partial z} K_T \frac{\partial \Theta}{\partial z} - \frac{\partial}{\partial z} \overline{\theta w}, \quad (8)$$

где Θ , U , V – осредненные по горизонтали значения потенциальной температуры и составляющих скорости вдоль осей x и y ; θ , u , v , w – конвективные отклонения температуры и составляющих скорости от их средних значений; U_G , V_G – составляющие геострофического ветра; l – параметр Кориолиса; K –

коэффициент вертикального турбулентного обмена подсеточного масштаба; $K_T = K/\text{Pr}$, Pr – турбулентное число Прандтля в АПС;

$$\frac{d}{dt} = \frac{\partial}{\partial t} + (U + u) \frac{\partial}{\partial x} + (V + v) \frac{\partial}{\partial y} + w \frac{\partial}{\partial z}$$

– оператор индивидуальной производной;

$$D_{xy} = \frac{\partial}{\partial x} K_x \frac{\partial}{\partial x} + \frac{\partial}{\partial y} K_y \frac{\partial}{\partial y}$$

– оператор горизонтального турбулентного обмена; λ – параметр плавучести; π – аналог давления; оператор осреднения определен в виде

$$\bar{f} = \frac{1}{L_x L_y} \int_0^{L_x} \int_0^{L_y} f dx dy = 0.$$

Здесь вектор-функция $f = (\theta, u, v, w)$; L_x, L_y – горизонтальные границы области решения; $0 \leq x \leq L_x$, $0 \leq y \leq L_y$. Отметим, что уравнения (6)–(8) описывают фоновый крупномасштабный поток в АПС, а уравнения (1)–(5) моделируют нерегулярную мезомасштабную конвекцию.

В качестве краевых условий по горизонтали примем традиционные для данного класса задач условия периодичности. Следует отметить, что дискретизация области в АПС с размерами $L_x = L_y = 10$ км на сетке 128×128 узлов допускает реализацию ансамбля, содержащего до 100 конвективных образований различных размеров и интенсивности. Условие периодичности имеет смысл статистической однородности процессов по горизонтали. При этом одновременно решается проблема граничных условий по x и y .

Для уравнений среднего течения в АПС поставим следующие условия:

$$\begin{aligned} U &= V = 0, \quad \Theta = \Theta_0(z_0, t) \text{ при } z = z_0; \\ U &= U_G, \quad V = V_G, \quad \frac{\partial \Theta}{\partial z} = \gamma_H \text{ при } z = H, \end{aligned} \quad (9)$$

где z_0 – параметр шероховатости; H – верхняя граница области; $\Theta_0(z_0, t)$ задает суточный ход температуры у земли; γ_H – стандартная стратификация свободной атмосферы. Условия (9) для уравнений (6)–(8) реализованы с помощью модели квазистационарного подслоя [11] толщиной h . Считается, что в пределах этого слоя конвективные пульсации малы. В связи с этим для уравнений (1)–(5) примем следующие условия:

$$\begin{aligned} u &= v = w = 0; \quad \theta = \theta_0(t, x, y) \text{ при } z = h; \\ \frac{\partial f}{\partial t} + C \frac{\partial f}{\partial z} &= 0 \text{ при } z = H, \end{aligned} \quad (10)$$

где θ_0 – случайные возмущения температуры малой амплитуды. Соотношения (10) описывают радиационные условия на верхней границе. Они приближенно задают открытые границы для быстрых гравитационных волн, генерируемых в устойчивых слоях.

Фазовые скорости C подбираются в ходе расчетов на основе анализа частоты Брента–Вайсяля.

В качестве начальных условий примем

$$U = U_0, \quad V = V_0, \quad \Theta = \Theta_0 \text{ при } t = t_0, \quad (11)$$

где U_0, V_0, Θ_0 – стационарные решения (6)–(8) при отсутствии конвекции.

Для коэффициентов горизонтальной диффузии согласно теории двумерной турбулентности [11] запишем

$$K_x = \alpha_x \Delta x \Delta y \sqrt{D_T^2 + D_S^2}, \quad K_y = \alpha_y \Delta x \Delta y \sqrt{D_T^2 + D_S^2}, \quad (12)$$

где $D_S = v_x + u_y$, $D_T = u_x - v_y$ – компоненты плоской деформации; $\Delta x \Delta y$ – площадь элементарной ячейки; α_x, α_y – безразмерные параметры.

Моделирование вертикального турбулентного обмена проведем для средних течений на основе уравнений полуэмпирической теории турбулентности [2]. В АПС уравнения для b – кинетической энергии турбулентности и ε – скорости ее диссипации имеют вид

$$\begin{aligned} \frac{\partial b}{\partial t} &= \frac{\partial}{\partial z} K \frac{\partial b}{\partial z} + K J - \varepsilon, \quad \frac{\partial \varepsilon}{\partial t} = \frac{1}{\sigma} \frac{\partial}{\partial z} K \frac{\partial \varepsilon}{\partial z} - c_1 \frac{\varepsilon}{b} K J - c_2 \frac{\varepsilon^2}{b}, \\ K &= c_k \frac{b^2}{\varepsilon}, \end{aligned} \quad (13)$$

где $J = (U_z^2 + V_z^2) - \frac{\lambda \Theta_z}{\text{Pr}}$ – источник генерации турбулентной энергии; c_k, c_1, c_2, σ – эмпирические постоянные [2].

Уравнения (13) должны удовлетворять следующим краевым условиям:

$$\begin{aligned} \frac{\partial b}{\partial z} &= 0, \quad \varepsilon = c_k \frac{b^2}{K_h} \text{ при } z = h, \\ \frac{\partial b}{\partial z} &= 0, \quad \frac{\partial \varepsilon}{\partial z} = 0 \text{ при } z = H. \end{aligned} \quad (14)$$

Модель распространения примеси

Для описания распространения примеси используем уравнение

$$\frac{\partial S}{\partial t} - w_0 \frac{\partial S}{\partial z} = D_{xy} S + \frac{\partial}{\partial z} K_s \frac{\partial S}{\partial z}, \quad (15)$$

где S – концентрация примеси; $w_0(d)$ – собственная скорость падения сферической частицы диаметра d ; $K_s = K/\text{Sm}$, где Sm – число Шмидта.

Поверхностную концентрацию S определим с помощью соотношения [11]:

$$K_s \frac{\partial S}{\partial z} + w_0 S = \beta S - \Gamma \text{ при } z = z_0, \quad (16)$$

где Γ – масса сорванных с поверхности сальтирующих частиц; β – скорость их вовлечения в турбулентную диффузию.

Расчет мощности источника Γ проводился в соответствии с методикой [1], где изучались механизмы сальтации и диффузии в приповерхностном ветропесчаном потоке. Процесс последовательного подскока и падения частиц в турбулентном потоке (сальтация) описан в [1] на основе уравнений неразрывности и сохранения импульса в двухкомпонентной среде. Расчет динамических характеристик приповерхностного слоя проводится в предположении, что после отрыва частица испытывает воздействие сил тяжести и сопротивления, причем последняя считается пропорциональной квадрату модуля относительной скорости. Признаком, отделяющим мелкие препятствия от песчинок, служит отношение их размеров к колмогоровскому микромасштабу турбулентности.

Критическая скорость начального отрыва является функцией размеров частиц и динамической скорости потока. Крупные частицы в процессе переноса падают на поверхность, а мелкие переходят во взвешенное состояние и диффундируют за счет турбулентных пульсаций. Критерий разделения сальтации и диффузии формулируется в терминах числа Фруда $Fr = \rho u_*^2 / \rho_d g d$ для аэрозольных частиц, где ρ_d – плотность частиц; u_* – динамическая скорость. На основе уравнения сохранения энергии в [1] получено выражение для массы Γ частиц, срываемых с единицы площади в единичный интервал времени как функции скорости ветра на уровне $z_2 = 2$ м и дисперсности частиц.

Рис. 1 демонстрирует полученные по модели [1] значения Γ для песчано-пылевых частиц с размерами из диапазона 10–50 мкм в зависимости от скорости ветра. Видим, что критическая скорость отрыва песчинок зависит от их размеров и составляет от 3 до 5 м/с – при меньшей скорости ветра $\Gamma = 0$ и отрыва не происходит. Скорость гравитационного оседания, рассчитанная по формуле Стокса, увеличивается с ростом размера частиц, изменяясь от 0,03 до 0,3 м/с для рассматриваемых значений d .

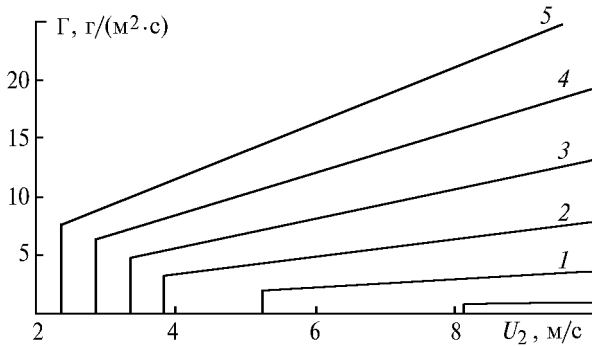


Рис. 1. Зависимость массы частиц, вовлекаемых в диффузию, от скорости ветра на уровне 2 м для фракций с $d = 10, 20, 30, 40, 50$ мкм (кривые 1, 2, 3, 4, 5)

Условие (16) записано на уровне шероховатости; для его использования в модели АПС его необходимо переформулировать на первый расчетный уровень, который совпадает с верхней границей слоя постоянных потоков (СПП) $z = h$. С этой целью запишем

уравнение переноса примеси при обычных упрощениях теории СПП в виде

$$-w_0 \frac{\partial S}{\partial z} = \frac{\partial}{\partial z} K_S \frac{\partial S}{\partial z}. \quad (17)$$

Интегрируя (17) от z_0 до z и пользуясь (16), получим

$$K_S \frac{\partial S}{\partial z} = -w_0 S + \Pi_0, \quad (18)$$

где $\Pi_0 = \beta S_0 - \Gamma$, S_0 – значение концентрации при $z = z_0$. Искомое аналитическое выражение для $S(z)$ может быть получено из (18) в предположении $K_S = \alpha_S K$ ($\alpha_S = 1/\text{Sm}$) в терминах переменной ζ , определяемой посредством равенства $dz = K_S d\zeta$. В итоге точный аналог (16) примет вид

$$K_S \frac{\partial S}{\partial z} = w_0 \frac{(\beta - w_0)S - \Gamma}{\beta - (\beta - w_0)\exp(-w_0\zeta_h)} \exp(-w_0\zeta_h) \quad \text{при } z = h, \quad (19)$$

где ζ_h соответствует уровню $z = h$, а зависимость $\zeta(z)$ определяется через параметры СПП на основе принятой системы универсальных функций.

На рис. 2 представлено горизонтальное распределение концентрации монодисперсного аэрозоля с $d = 20$ мкм на уровне 300 м выше квазистационарного подслоя. Поля скоростей и коэффициентов турбулентного обмена получены на основе численного интегрирования уравнений (1)–(8), в которых задано $U_G = 10$ м/с. Физическое время соответствует 2 ч от момента начала дефляции.

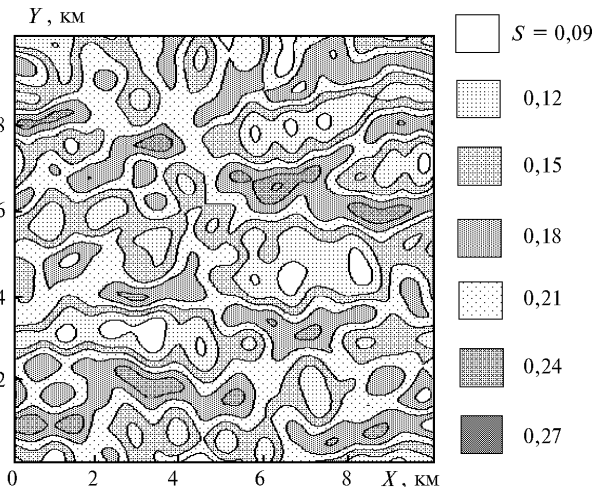


Рис. 2. Изолинии поля s в горизонтальном сечении при $z = 300$ м

Из рис. 2 видно, что удельная концентрация характеризуется значительной неоднородностью по пространству и на данном уровне варьирует от 0,09 до 0,27 г/м³, т.е. изменяется в 3 раза (средняя по x, y величина \bar{s} на этом уровне составляет 0,14 г/м³). С высотой контрастность пространственного распределения примеси проявляется сильнее, причем повы-

шенные значения концентрации соответствуют восходящим струям теплого воздуха.

«Пятнистая» структура концентрации, изображенная на рис. 2, обусловлена нерегулярностью пространственного распределения конвективных элементов, а также особенностями вертикального переноса за счет мощных восходящих движений в термиках, скорость которых в данном расчете достигает $3,5 \text{ м/с}$ (отрицательный экстремум w примерно в 2 раза меньше). Поскольку величина $w_0 \approx 0,07 \text{ м/с}$ намного меньше положительных w , то частицы аэрозоля, попавшие в конвективные потоки, поднимаются вверх практически до верхней границы слоя перемешивания, образуя выраженные области повышенной концентрации. Нисходящие токи совместно с процессами седimentации способствуют локальному снижению содержания аэрозоля и его частичному выведению из атмосферы. Наличие среднего ветра приводит к формированию растянутой вдоль оси x структуры пульсаций поля концентрации, заметной на рис. 2. Эти факторы обусловливают сложную пространственно-временную динамику параметров аэрозоля в конвективном АПС.

Осьдиннадцатый по горизонтали профиль концентрации представлен на рис. 3, кривая 3. Там же дано

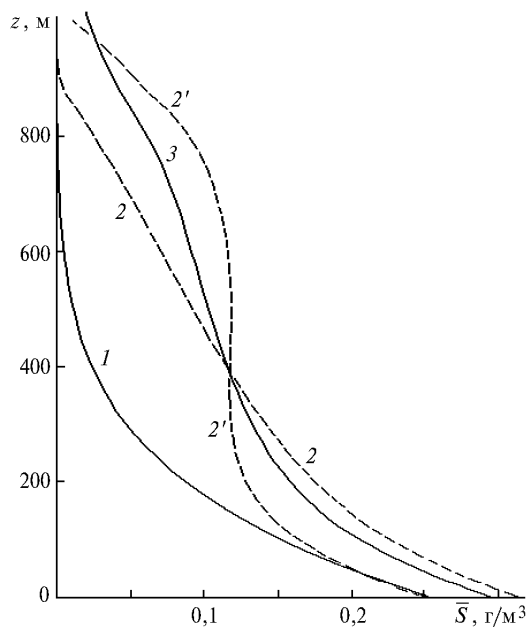


Рис. 3. Вертикальные профили средней концентрации в одномерной (кривая 1), плоской zx (кривые 2, 2') и пространственной (кривая 3) задачах

распределение S , полученное в рамках одномерной модели, т.е. без учета конвекции (кривая 1). Сопоставляя кривые 1 и 3, видим, что если в нижних слоях разница в концентрациях незначительна, то при $z = 300 \text{ м}$ конвективный перенос приводит к более чем двукратному увеличению S , а на уровне $z = 600 \text{ м}$ — к 10-кратному. Выше этого уровня процессы диффузии, описываемые на основе одномерной K -модели, практически не распространяются, тогда как влияние

конвективных факторов не затухает до высот 800–1000 м. Общая масса примеси, вовлеченной в воздушные потоки за счет чисто диффузионного механизма, составила к данному моменту 42 г/м^2 , а с учетом конвективного обмена — 94 г/м^2 , т.е. в 2,2 раза больше.

Анализируя профиль 3 на рис. 3, отметим тенденцию к формированию слоя со слабо меняющимися по вертикали значениями \bar{S} при $300 < z < 700 \text{ м}$. Эту особенность конвективного АПС подтверждают данные наблюдений [4], согласно которым в ясные летние дни возрастает замутненность нижнего километрового слоя атмосферы. Более отчетливо слой перемешивания выражен кривой 2' на рис. 3, которая получена на основе плоской модели с продольным обтеканием конвективных валов. Качественно похожие результаты получены в [6, 9] при решении аналогичной задачи в двумерной постановке и упрощенном описании взаимодействия примеси с подстилающей поверхностью. В двумерной задаче с поперечной ориентацией валов относительно ветра, напротив, слой перемешивания размывается и профиль \bar{S} близок к линейному (см. рис. 3, кривая 2). Из сопоставления кривых 2 и 2' следует вывод, что для правильного воспроизведения структуры АПС на основе двумерной LES-модели необходимо корректно задать геометрическое направление, вдоль которого предполагается однородность процессов.

Подводя итог вышесказанному, отметим значительную роль конвекции в АПС при переносе песчано-почвенного аэрозоля в верхние слои.

Расчеты по 3-мерной нестационарной вихрево-разрешающей модели показали качественное согласие с ранее полученными теоретическими результатами, а также с известными метеорологическими явлениями — замутненностью перемешанного слоя в летние дни, проникновением тяжелых частиц до высот порядка 1 км.

Важно отметить, что при короткопериодных натурных измерениях может возникать значительная неоднородность в пространственном распределении полей атмосферного аэрозоля, особенно если эти измерения приходятся на различные фазы вихревых конвективных образований. Зоны конвергенции и дивергенции обуславливают появление областей повышенной концентрации аэрозоля. В этом случае распределение пассивной примеси выше приземного слоя неадекватно воспроизводится на основе обычной модели диффузии.

Так, максимум концентрации примеси, вовлеченнной в циркуляционную ячейку, может в несколько раз превышать ее среднее значение. Это обстоятельство необходимо учитывать при интерпретации наблюдений и задании интервалов временного осреднения данных.

Работа выполнена при финансовой поддержке РФФИ, гранты № 99-05-64678, 99-05-64735.

- Бютнер Э.К. Динамика приповерхностного слоя воздуха. Л.: Гидрометеиздат, 1978. 157 с.

2. Илюшин Б.Б., Курбацкий А.Ф. О применимости $E-l$ и $E-\epsilon$ моделей турбулентности к нейтральному горизонтально неоднородному атмосферному пограничному слою // Изв. РАН. Физ. атмосф. и океана. 1994. Т. 30. № 5. С. 615–622.
3. Lykosssov V. Turbulence Closure for the Boundary Layer with Coherent Structures: an Overview // Berichte aus dem Fachbereich Physic. Alfred - Wegener - Institut für Polar- und Meeresforschung. September 1995, Report 63. 26 p.
4. Берлянд М.Е. Современные проблемы атмосферной диффузии и загрязнения атмосферы. Л.: Гидрометеоиздат, 1975. 448 с.
5. Бызова Н.Л. Рассеяние примеси в пограничном слое атмосферы. Л.: Гидрометеоиздат, 1974. 191 с.
6. Мальбахов В.М., Пушистов П.Ю. Теоретическое изучение некоторых особенностей распространения примесей в конвективных условиях // Оптика атмосф. и океана. 1998. Т. 11. № 8. С. 919–923.
7. Мальбахов В.М. Теоретическое изучение механизма образования когерентных структур в распределении примеси в нижней тропосфере в конвективных условиях // Оптика атмосф. и океана. 2000. Т. 13. № 6–7. С. 660–663.
8. Deardorf J.M. Three-dimensional numerical study of turbulence in an entraining mixed layer // Bound. Layer Meteorol. 1974. V. 8. N 7. P. 199–211.
9. Пушистов П.Ю., Мальбахов В.М., Кононенко С.М. Распространение тяжелой примеси в пограничном слое атмосферы при нестационарной проникающей конвекции // Метеорол. и гидрол. 1982. № 6. С. 45–53.
10. Shlychkov V.A., Pushistov P.Yu. Application of Eddy-Resolving Models for Penetrating Turbulent Convection in the Atmosphere and Deep Lakes // Bull. of the Novosibirsk Computing Center. Series «Numerical Modeling in Atmosphere, Ocean and Environment Studies». NCC Publisher. Novosibirsk, 2000. Issue 5. P. 39–45.
11. Пененко В.В., Алоян А.Е. Модели и методы для задач охраны окружающей среды. Новосибирск: Наука, 1985. 256 с.

V.A. Shlychkov, P.Yu. Pushistov, V.M. Malbakhov. The influence of atmospheric convection on the vertical transport of arid aerosols.

The processes of transport of arid aerosols in the conditions of developed convection are studied theoretically. The aerosols are wind-driven into the atmosphere due to the release of soil particles from bare soil. Further they ascend due to convection and turbulence. The results of calculations for one-dimensional (without allowance for convection), two-dimensional, and three-dimensional LES models that reproduce the convective structures with scales ≥ 100 m are presented.